

## طراحی، ساخت، همسانه‌سازی و بیان ژن بتا دیفسین و تأثیر آن در ترمیم زخم

نفیسه کریمی<sup>۱</sup> (M.Sc)، بهناز صفار<sup>۲\*</sup> (Ph.D)، محسن میینی دهکردی<sup>۳</sup> (Ph.D)، کامران قائیدی<sup>۳</sup> (Ph.D)

۱- گروه ژنتیک، دانشکده علوم پایه، دانشگاه شهرکرد، شهرکرد، ایران

۲- پژوهشکده زیست فناوری، دانشگاه شهرکرد، شهرکرد، ایران

۳- گروه بیولوژی، دانشکده علوم پایه، دانشگاه اصفهان، اصفهان، ایران

### چکیده

سابقه و هدف: در میان پیتیدهای ضد میکروب، دیفسین‌ها یکی از بزرگ‌ترین خانواده‌های پیتیدهای ضد میکروب می‌باشند و به واسطه‌ی فعالیت آن‌ها بر ضد باکتری‌ها، قارچ‌ها و ویروس‌ها، به عنوان آنتی‌بیوتیک‌های نسل جدید منفعت بسیار دارند. هدف از این مطالعه طراحی، سنتز، همسانه‌سازی و بیان پروتئین بتادیفسین نوتروفیل‌های گاو (BNBD2) به منظور بررسی خاصیت ترمیم زخم بوده است.

مواد و روش‌ها: در این مطالعه ژن (BNBD2) با توجه به کدون‌های ترجیحی باکتری E.coli بهینه‌سازی و سنتز شد. از ناقل (+) pET-32a به منظور زیر همسانه‌سازی ژن BNBD2 استفاده گردید. بیان پروتئین BNBD2 با ماده‌ی القاکننده (IPTG) با استفاده از سیستم الکتروفورز عمودی (SDS-PAGE) بررسی گردید. خاصیت ترمیم زخم توسط ایجاد زخم بر روی یک گروه از موش‌ها و تیمار آن‌ها با پروتئین بتادیفسین، در مقایسه با گروه کنترل مورد مطالعه قرار گرفت.

یافته‌ها: نتایج نشان داد که ژن BNBD2 به طور موفقیت‌آمیزی در ناقل (+) pET32a همسانه‌سازی شده است. پروتئین نوترکیب توسط IPTG القا گردید. کاهش معنی‌دار سطح زخم در گروه تیمار در مقایسه با گروه کنترل وجود داشت.

نتیجه‌گیری: پروتئین نوترکیب BNBD2 با موفقیت در سیستم پروکاریوتی بیان شد. این پروتئین می‌تواند در آینده در ترمیم زخم مورد استفاده قرار گیرد.

واژه‌های کلیدی: دیفسین، التیام زخم، کدون، همانند سازی ملکولی، بیان ژن

### مقدمه

پیتیدهای ضد میکروبی، پلی‌پیتیدهایی کمتر از ۱۰۰ آمینو اسید می‌باشند که طیف وسیعی از فعالیت‌های ضد میکروبی دارند. این پیتیدها عمدتاً غشاها میکروبی را مورد هدف قرار می‌دهند، در نتیجه به واسطه‌ی قابلیت کاربرد آن‌ها، به عنوان آنتی‌بیوتیک‌های نسل جدید به شمار می‌روند [۲، ۱]. یک دسته از این پیتیدها دیفسین‌ها هستند. دیفسین‌ها به سه گروه آلفا

(α)، بتا (β) و تتا (γ) تقسیم می‌شوند [۳]. بتادیفسین‌ها یکی از بزرگ‌ترین اعضای این خانواده می‌باشند و رونوشت آن‌ها در بسیاری از مهره‌داران، بی‌مهرگان و گیاهان یافت می‌شود [۴]. بیش‌تر دیفسین‌ها شش ریشه‌ی سیستئین دارند که برای فعالیت ضد میکروبی ضروری نیست اما مقاومت بالایی نسبت به پروتولیز باکتریایی را ایجاد می‌کنند [۵]. دیفسین‌ها در سلول‌ها و بافت‌هایی فراوان می‌باشند که در دفاع میزبان بر

زیستی و کاهش سمیت برای سلول یوکاریوت وجود دارد [۶]. با توجه به طیف وسیع خاصیت ضد میکروبی بتادیفنسین نوتروفیل گاو در مقایسه با سایر دیفنسین‌ها، این تحقیق، با هدف طراحی، بهینه‌سازی کدون، همسانه‌سازی و بیان زن BNBD2 در ناقل pET-32a(+) و بررسی خواص ترمیمی آن صورت گرفت تا گامی جهت تولید یک پیتید دارویی با خاصیت ترمیمی و ضد میکروبی برداشته شود.

## مواد و روش‌ها

سویه‌های باکتریایی، ناقل‌ها و مواد. باکتری‌های استفاده شده شامل سویه‌های آزمایشگاهی همسانه‌سازی و بیانی باکتری E.coli به ترتیب با نام‌های DH5α و BL21 (DE3) و pET-32a(+) pGH و pGHI جهت همسانه‌سازی و بیان پلاسمیدهای T4 ژن هدف به ترتیب مورد استفاده قرار گرفتند. از محیط‌های E.coli کشت لوریا برتانی مایع و آکاردار جهت رشد باکتری استفاده گردید. آنتی‌بیوتیک آمپیسیلین به منظور غربالگری، از شرکت سیگما خریداری شد. آنزیم‌های محدود الاثر BamHI و DNA RNase H و HindIII از شرکت سینناژن و آنزیم T4 لیگاز، از شرکت تاکارا تهیه شدند. روش‌های ملکولی استفاده شده در این پژوهش بر اساس روش‌های استاندارد می‌باشد [۸].

### BNBD2: طراحی، ساخت، بهینه کردن و همسانه‌سازی ژن

BNBD2: Bovine neutrophil β -2 defensin 2 (defensin 2) با طول ۱۲۰ جفت باز، کدکننده‌ی پیتیدی با ۴۰ آمینو اسید در بردارنده‌ی ۶ ریشه‌ی سیستئین با سه باند دی‌سولفید درون مولکولی ما بین ریشه‌های ۷-۳۶، ۱۴-۴۹ و ۱۹-۳۷ می‌باشد. توالی ژن از بانک اطلاعاتی Ensemble، با شماره 46160.1 (P) گرفته شد. در این تحقیق با استفاده از نرم‌افزار Clustalw میزان شباهت توالی مورد نظر با توالی آمینواسیدی دیفنسین‌های انسانی و سایر دیفنسین‌های موجود در گاو مقایسه گردید. به منظور همسانه‌سازی و بیان ژن BNBD2 در باکتری E.coli، توالی ژن هدف BNBD2 بر اساس توالی آمینواسید آن و کدون‌های ترجیحی مورد استفاده

ضد عفونت‌های میکروبی درگیر می‌باشد [۱]. لوکوسیت‌ها و سلول‌های مخاطی اپی‌تیال عمدۀ انواع سلول‌هایی هستند که دیفنسین‌ها را تولید می‌کنند [۴].

بررسی توسعه تجاری پیتیدهای ضد میکروبی در کشورهای مختلف نشان می‌دهد که می‌توان از داروهای پیتیدی در مراحل مختلف درمان و برای درمان موارد مختلف ابتلا به عفونت مانند زخم پای بیماران دیابتی، جوش صورت، عفونت غشاء مخاطی، ورم لته یا منژیت به صورت موضعی، خوراکی یا سیستمیک استفاده کرد [۶]. مطالعات نشان می‌دهد که غلاظت دیفنسین‌ها در پلاسما، خون و مایعات بدن در بیماران با عفونت باکتریایی افزایش می‌یابد و اهمیت فیزیولوژیکالی دیفنسین‌ها را در عفونت مشخص می‌کند. در کنار اثر دیفنسین‌ها بر روی دفاع میزبان و تنظیم اینمنی، همچنین نقش مهمی در بهبود زخم ایفا می‌کنند. به عبارت دیگر دیفنسین‌ها با غیر فعال کردن باکتری‌ها، ویروس‌ها و مخمرها، باعث تسريع در بهبود زخم می‌گردند [۷]. دیفنسین‌ها در فرایندهای سلولی متعدد مهاجرت سلول یا تکثیر سلولی شرکت می‌کنند و به عنوان عاملی در بهبود زخم پوست پستانداران توصیف شده‌اند. فاکتورهای مشتق شده از کراتینوسیت‌ها و پیتیدهای ضد میکروب باعث تحریکات هورمون‌های اتوکراین و پیشبرد مهاجرت کراتینوسیت‌ها و سنتز کلاژن می‌شوند. کاهش در میزان پیتیدهای ضد میکروب مشتق شده از کراتینوسیت‌ها با افزایش ریسک عفونت همراه است. برای نمونه کاهش در پیتیدهای ضد میکروب می‌تواند توضیحی برای افزایش خطر در عفونت‌های پزدوموناس در بیماران سوختگی باشد [۷]. پیتیدهای ضد میکروب چندین مزیت بیشتر از آنتی‌بیوتیک‌ها دارند: ۱- به واسطه‌ی مکانیسم‌های اختصاصی پیتیدهای ضد میکروب، مقاومت کمتری در برابر آن‌ها به وجود می‌آید. ۲- پیتیدهای ضد میکروب طیف وسیعی از میکروب‌ها را مورد هدف قرار می‌دهند. ۳- فعالیت پیتیدهای ضد میکروب، در غلاظت نانومولار انجام می‌گیرد. ۴- امکان سنتز شیمیایی آنالوگ‌های پیتیدهای ضد میکروب با ویژگی تغییر یافته‌ی

(DE3) به روش شوک حرارتی انتقال یافت. سویه میزبان نوترکیب بر روی محیط LB حاوی عامل انتخابی آمپیسیلین به مدت یک شب کشت گردید. بنابراین کلنجاهای نوترکیب با غربالگری آنتی بیوتیک جدا شدند. حضور پلاسمید نوترکیب با هضم آنزیمی توسط آنزیم‌های BamHI و HindIII و انجام توالی‌بایی، تایید گردید (شرکت زن فن آوران).

القای بیان و بررسی تولید پروتئین. به منظور بررسی بیان زن، یک تک همسانه از باکتری تاریخت، در محیط LB مایع دارای آنتی بیوتیک آمپیسیلین با غلاظت  $150 \mu\text{g}/\text{mL}$  کشت شبانه داده شد و سپس ۵ میلی لیتر از آن به ۵۰ میلی لیتر از همان محیط تلقیح و پس از رسیدن OD به حد مطلوب القا توسط IPTG با غلاظت یک میلی مولار انجام شد. نمونه برداری قبل از القا و در زمان‌های مختلف پس از القا صورت گرفت. بدین نحو که هر بار ۵ میلی لیتر از محیط جدا و مورد سانترفیوژ قرار گرفت. نمونه‌ها در  $5000 \text{ rpm}$  به مدت ۳۰ دقیقه سانترفیوژ گردید و رسوب سلولی بعد از حل شدن در بافر TE و تاثیر امواج ماوراء صوت (قدرت  $80 \text{ mW}$ ) در دور  $13000 \text{ rpm}$  در دمای  $4^\circ\text{C}$  درجه سانتی گراد به مدت ۲۰ دقیقه سانترفیوژ شد. جهت بررسی بیان، مایع فاز روبی، بر روی ژل اکریل امید SDS-PAGE برده شد. تعیین غلاظت پروتئین نوترکیب به کمک روش برادفورد انجام شد [۱۲]. بهینه‌سازی بیان در شرایط مختلف دانسیته سلولی در زمان القا، مدت زمان القا و دمای رشد در مطالعه قبلی صورت گرفته است [۹]. به منظور تایید اختصاصی پروتئین بیان شده از تکنیک حساس و سترن بلات استفاده گردید. جهت جدا کردن پروتئین دیفسنین از پروتئین نوترکیب از اسید فرمیک استفاده شد و سانتریکون با غشای سلولی انجام خالص سازی پروتئین مورد نظر مورد استفاده قرار گردید [۹]. اثر دیفسنین در ترمیم زخم. جهت بررسی نقش پروتئین دیفسنین در ترمیم زخم از تعداد ۱۰ موش سفید  $8-10$  هفته‌ای نژاد BalbC استفاده شد (موش‌ها از دانشگاه آزاد اسلامی شهرکرد خریداری و ملاحظات اخلاقی در زمینه استفاده از حیوانات آزمایشگاهی رعایت گردید). بعد از

در باکتری E.coli و با در نظر گرفتن جایگاه‌های محدود کننده آنزیم‌های BamHI/HindIII طراحی گردید (بیشترین کدون‌های مورد استفاده در E.coli, agg, cta, cga, cg, cgg برای آرژنین، ata، برای ایزو لوسین، cta، برای لوسین، gga، برای گلیسین و ccc، برای پرولین می‌باشد). نرم‌افزارهای مورد استفاده جهت بهینه‌سازی کدون E.coli rare codon Optimizer, Genescrypt شامل analyzer2 چشم‌انداز. جهت جدا کردن پیتید مورد نظر از پروتئین نوترکیب، جایگاه شکافت فرمیک اسید به صورت آسپارتیک اسید-پرولین در سمت N- ترمینال زن pGHBNBD2 قرار گرفت. توالی مذکور سنتز و در وکتور GH درج گردید (شرکت بیونیرکره). اندازه‌ی زن مذکور به همراه انتهای چسبنده ۱۴۸ جفت باز می‌باشد. توالی الیکو نوکلئوتید (جایگاه BamHI و جایگاه HindIII در رشته DNA نشان داده شده است) و توالی آمینو اسید مربوط به زن pGHBNBD2 در زیر آمده است. توالی پیتید در کادر خاکستری و جایگاه محل برش توسط فرمیک اسید به صورت خط در زیر توالی مشخص شده است.

5'CGGATCCGACGATGACGATCCTATTGTCCG TAACCATGTAACCTGCCGTATTAATCGTGGTT TCTGTGTACCTATTGTTGCCCTGGTCGCACT CGTCAGATCGGTACGTGTTTGGTCCCGTAT TAAATGCTGCCGTAGTTGGTAGAAGCTT3'

GSDDDDPIVRNHVTCRINRGFCVPIRCPGRTQI GTCFGPRIKCCRSW **pET32a(+)** **BNBD2** در ناقل **pET32a(+)** در ناقل **BNBD2** زیرهمسانه‌سازی زن **BamHI** و **HindIII** مورد هضم قرار پلاسمیدهای **pGHB** حاوی زن مورد نظر و وکتور **pET32a(+)** با آنزیم‌های محدود الاثر **BamHI** و **HindIII** مورد نظر محلول‌های واکنش گرفتند. برای جداسازی قطعات مورد نظر **pET32a(+)** بر پیش از این بررسی بر روی ژل آگاراز  $1 \text{ mm}$  درصد با دمای ذوب پایین الکتروفورز گردید. سپس توسط کیت استخراج DNA از ژل آگاراز مورد جداسازی قرار گرفتند. باند مربوط به زن و ناقل برش یافته، از ژل جدا شدند. سپس واکنش الحاق قطعه زن و وکتور برش خورده با نسبت مولی  $1:3$  با کمک آنزیم **T4** لیگاز در دمای  $16^\circ\text{C}$  درجه سانتی گراد به مدت  $12$  ساعت انجام پذیرفت. محصول الحاق به باکتری‌های مستعد شده **BL21**

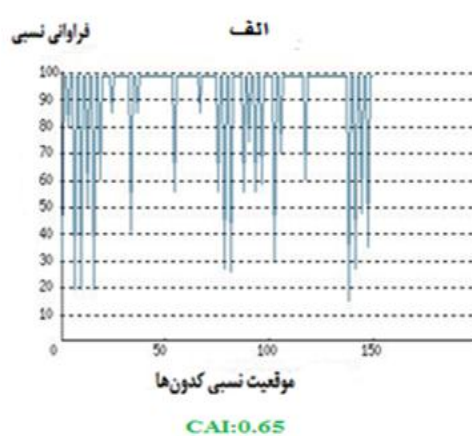
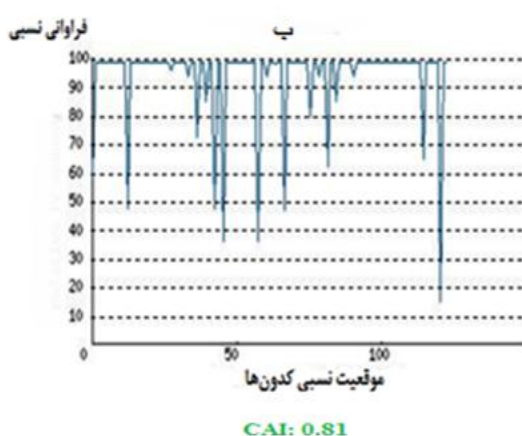
گوانین که می‌تواند بر روی بیان پروتئین در باکتری Ecoli تاثیرگذار باشد بهینه گردید. بررسی کدون‌های موجود در توالی نوکلئوتیدی کمک بزرگی در پیش‌بینی میزان بیان و انتخاب میزبان مناسب به منظور بیان پروتئین می‌کند. افزایش شاخص CAI (Codon Adaptation index) نشان‌دهنده‌ی افزایش کدون‌های مورد استفاده برای بیان این ژن در باکتری است (شکل ۱). احتمال بیان بالا با میزان CAI رابطه مستقیم دارد. CAI بالای ۰/۸ از بیان بالای پروتئین در میزبان مورد نظر حکایت می‌کند. CAI برای پیتید BNBD2 بعد از بهینه‌سازی کدون‌ها، ۰/۸۱ می‌باشد. بنابراین بیان این پروتئین در میزبان اشریشیاکولی بعد از بهینه‌سازی کدون‌ها می‌تواند افزایش یابد. در منحنی درصد بازه‌های سیتوزین و گوانین، محدوده‌ی ایده‌آل درصد C و G بین ۳۰-۷۰ درصد تا ۷۰-۹۰ درصد است و پیک‌های خارج از این محدوده بر کارایی بیان اثر معکوس می‌گذارد. درصد محتوای سایتوزین و گوانین برای ژن BNBD2، بعد از بهینه‌سازی کدون‌ها، ۰/۲۸ درصد می‌باشد (شکل ۲). درصد توزیع کدون‌ها در گروه‌های دسته‌بندی شده نیز محاسبه گردیده است. ارزش ۱۰۰ برای کدون‌هایی با بالاترین فراوانی برای بیان در ارگانیسم مورد نظر داده می‌شود. کدون‌هایی با ارزش کمتر از ۳۰ برای بیان مناسب نیستند (شکل ۳). ژن ۰/۶۵ پس از بهینه‌سازی، سنتز و در ناقل pGH توسط شرکت سازنده همسانه‌سازی شد.

بی‌هوشی موش‌ها، قسمتی از موهای سطح پشتی تراشیده و ناحیه پوست تراشیده شده با الکل ۷۰ درصد تمیز گردید. از یک پانچ بیوپسی ۵ mm برای ایجاد زخم پوستی در شرایط استریل استفاده گردید و روی زخم‌ها پوشانده نشد [۱۱، ۱۰]. سپس حیوانات به دو گروه کنترل و تیمار تقسیم شدند. مقدار ۵ میکرولیتر از بافر حل کننده پروتئین به عنوان کنترل برای یک بار در روز و ۵۰ میکرولیتر از پروتئین دیفنسین ۱۰ میکروگرم در ۵۰ میکرولیتر به عنوان غلظت تیمار (این غلظت از پروتئین دارای خواص ترمیمی و باکتری کشی می‌باشد غلظت‌های بیشتر واکنش‌های التهابی را تحریک می‌کند) استفاده شد [۱۸]. جهت بررسی روند ترمیم زخم روزهای اول، سوم، ششم و نهم مساحت زخم بر حسب ۲mm اندازه‌گیری شد [۱۲]. برای تجزیه و تحلیل اطلاعات به دست آمده، از آزمون ANOVA و نرم‌افزار SPSS (version, 17) استفاده گردید.

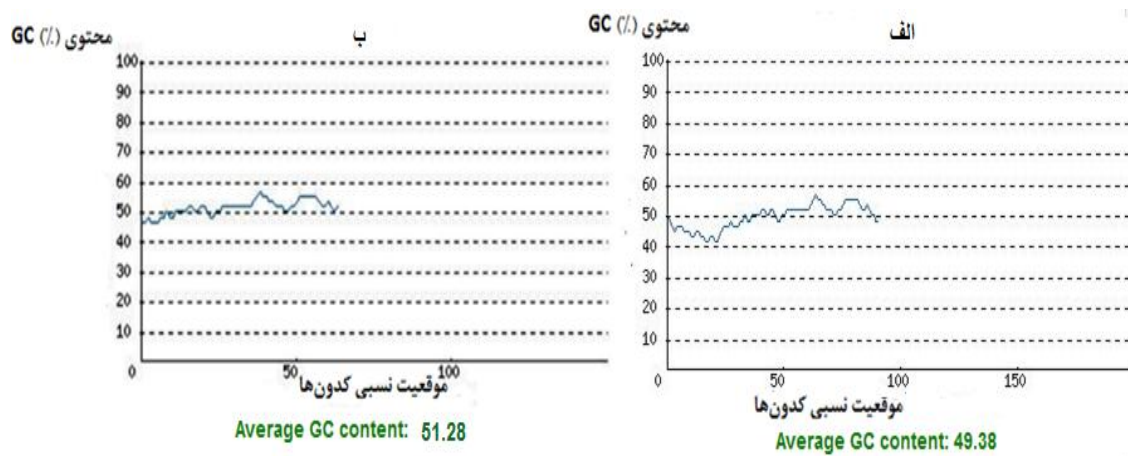
## نتایج

بررسی هم‌رديفی پروتئین BNBD2: نتایج حاصل از هم‌رديفی این پیتید با دیفنسین‌های انسانی و سایر دیفنسین‌ها نشان‌دهنده وجود شش ریشه سیستئین حفاظت شده در این ترکیب می‌باشد.

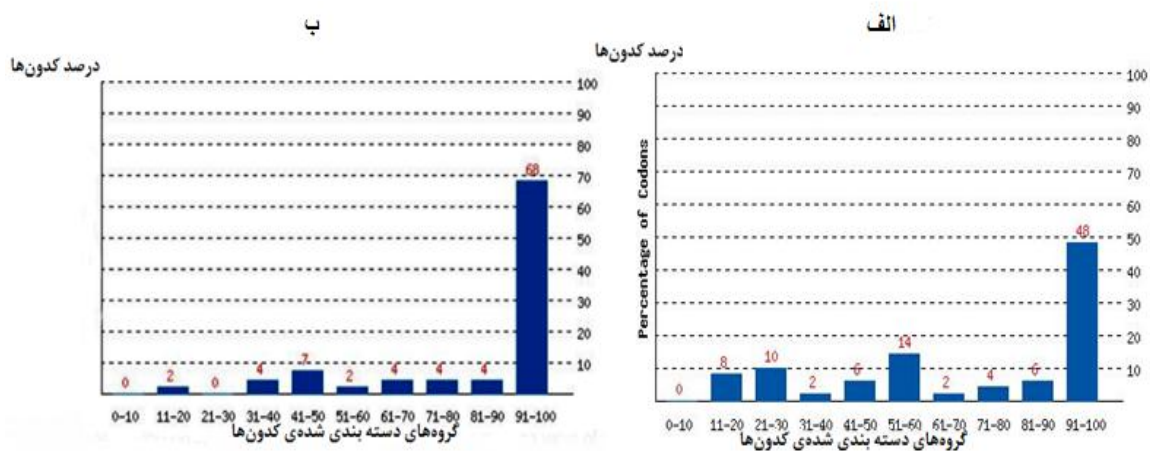
بهینه‌سازی و همسانه‌سازی توالی ژن BNBD2. ترادف کد کننده ژن BNBD2 با توجه به عوامل متعددی از جمله افزایش درصد محتوای Codon usage bias



شکل ۱. توزیع فراوانی کدون‌های مورد استفاده برای بیان در میزبان مورد نظر (اشریشیاکولی). (الف) شاخص CAI قبل از بهینه سازی کدون‌ها (۰/۶۵). (ب) بعد از بهینه سازی کدون شاخص مورد نظر به ۰/۸۱ می‌رسد.



شکل ۲. منحنی درصد محتوی بازه‌ای GC. محدودی ایده آل درصد GC بین ۳۰٪ تا ۷۰٪ است و پیک‌های خارج از این محدوده بر کارایی بیان اثر معکوس می‌گذارد. الف) درصد GC برای ژن BNBD2، قبل از بهینه سازی کدون ۴۹/۳۸ درصد ب) بعد از بهینه سازی به ۵۱/۲۸ درصد می‌رسد.

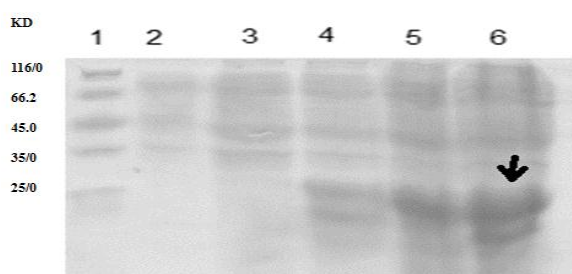


شکل ۳. درصد توزیع کدون‌ها در گروه‌های دسته‌بندی شده. الف) درصد توزیع کدون‌ها قبل از بهینه سازی. همانطور که در شکل مشخص شده است، ۱۸ درصد از کدون‌ها، ارزش کمتر از ۳۰ در گروه‌های دسته‌بندی شده دارند که کارایی ترجمه را کاهش می‌دهد. ب) درصد توزیع کدون‌ها بعد از بهینه سازی این میزان به ۶۸٪ کاهش می‌یابد.

همسانه‌سازی می‌باشد (شکل ۵). نتایج تعیین توالی صحت توالی به دست آمده را تایید نمود.

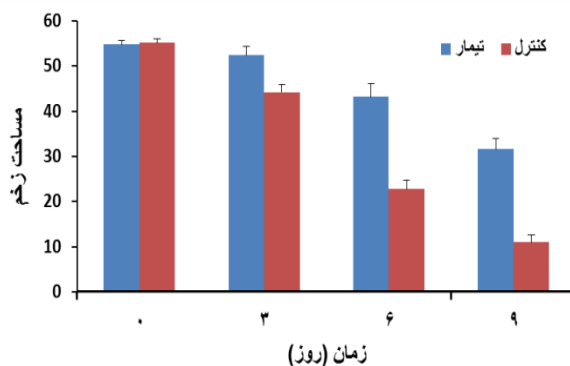
بیان ژن **BNBD2** و تایید آن. ژن **BNBD2** همسانه‌سازی شده در ناقل pET32a pIPTG توسط IPTG یک میلی مولار القا شد و نمونه‌های پروتئینی تحت شرایط دنا توره به هم راه نشانگر پروتئینی (SM0671) روی ژل پلی آکریل آمید الکتروفوروز شدند (شکل ۶). بیشترین بیان ۴ ساعت بعد از القا می‌باشد. پروتئین فیوژن (پیتید 2 BNBD2 به همراه هگزا هیستیدین و سایر دنباله‌های پروتئینی موجود در ناقل pET32 مانند تیرودوکسین) وزنی حدود ۲۵ کیلو دالتون دارد. نتایج مربوط به بهینه‌سازی بیان، خالص‌سازی پروتئین و تایید آن توسط

زیر همسانه‌سازی در (pET-32a(+)): قطعات حاصل از برش وکتورهای (pET-32a(+)) و pGH از روی ژل بازیافت شدند و قطعات ژن و ناقل با یکدیگر الحاق شدند (شکل ۴). الحاق ژن **BNBD2** به پلاسمید (pET-32a(+)) با موفقیت انجام شد. کلونی‌های حاوی پلاسمید بیانی نوترکیب شد. غربالگری با استفاده از آنزیم‌های محدودکننده BamHI/HindIII صورت گرفت و پلاسمید نوترکیب BNBD2-pET-32a(+) مورد هضم آنزیمی قرار گرفت. صحت برش با استفاده از الکتروفوروز تایید شد. مشاهده قطعه خارج شده با اندازه مورد انتظار نشان‌دهنده صحت



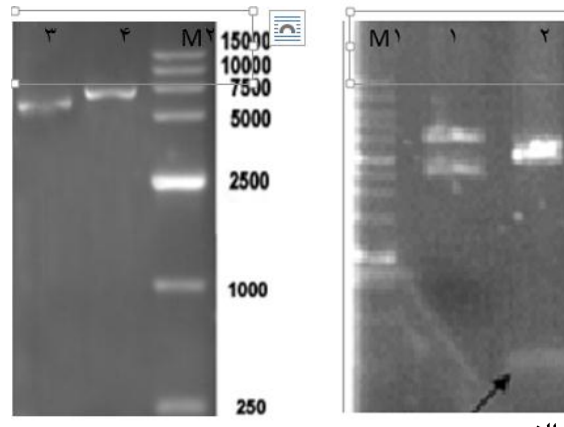
شکل ۶: تصویر ژل SDS-PAGE جهت بررسی بیان پروتئین BNBD2 در زمان‌های مختلف. چاهک ۱: مارکر پروتئین SM0671 چاهک ۲: سلول لیز شده‌ی E. coli BL21(DE3) (coli BL21(DE3) ترانسفورم شده با وکتور نوترکیب قبل از القا. چاهک ۴: پروتئین نوترکیب ۲ ساعت بعد از القا با IPTG. چاهک ۵: پروتئین ۴ ساعت بعد از القا با IPTG. چاهک ۶: پروتئین نوترکیب ۴ ساعت بعد از القا با IPTG. فلاش باند مورد نظر را نشان می‌دهد.

بررسی تاثیر پروتئین بر روی روند ترمیم زخم، ابتدا اندازه زخم بر روی دو گروه تیمار و کنترل یکسان بود. بر اساس آزمون ANOVA در روزهای سوم، ششم و نهم تفاوت معنی‌داری از جهت مساحت زخم بین گروه‌های کنترل و تیمار دیده شد. کاهش معنی‌دار مساحت زخم بر اساس آزمون ANOVA در سطوح مختلف تیمار و بین کنترل و تیمار در هر زمان نشان داده شده است ( $P < 0.05$ ) (شکل ۷).



شکل ۷: میانگین میزان کاهش مساحت زخم در روزهای سوم، ششم و نهم بعد از ایجاد زخم به همراه انحراف معیار. کاهش معنی‌دار مساحت زخم بر اساس آزمون ANOVA در سطوح مختلف تیمار و بین کنترل و تیمار در هر زمان نشان داده شده است.

وسترن‌بلات در مطالعه قبلی آمده است [۹]. وزن مولکولی پروتئین، ۴/۶ کیلو Dalton بعد از جداسازی از پروتئین فیوژن می‌باشد.



شکل ۴. الگوی حرکت قطعات حاصل از برش وکتورهای (pET-32a+(+) pGH روی ژل آگارز. (الف) مارکر M1 ۱۰۰۰ جفت بازی شماره ۱: وکتور SM0312 pGH برش نخورده. شماره ۲ وکتور ۱۴۸ pGH برش خورده با آنزیم‌های BamHI/ HindIII جفت بازی حاوی ژن مورد نظر خارج شده است. (ب) شماره ۳: وکتور (pET-32a+(+) برش نخورده که دارای ۵۹۰۰ جفت باز می‌باشد. شماره ۴: وکتور (pET-32a+(+) برش خورده با آنزیم‌های BamHI/ HindIII و شامل دو قطعه می‌باشد. یک قطعه‌ی کوچک‌تر که از ژل خارج می‌شود و در حدود ۲۶ جفت باز است و قطعه‌ی بزرگ‌تر به عنوان DNA ناقل می‌باشد که در حدود ۵۸۷۵ جفت باز است. M2 مارکر ۱۵ Kb DNA ((Rovalab



شکل ۵: الگوی حرکت قطعات حاصل از برش وکتور بیانی نوترکیب (pET-32a+(+)BNBD2) - (BNBD2+(+) بعد از برش پلاسمید نوترکیب (BNBD2+(+) با آنزیم‌های BamHI/ HindIII - (pET-32a+(+)BNBD2) یک قطعه ۱۴۸ حدود جفت بازی معادل با ژن مورد نظر و یک قطعه ۵۸۰۰ حدود جفت بازی معادل با پلاسمید برش خورده بر روی ژل مشخص گردید. مارکر وزن مولکولی ۱۵ مارکر (SM0321)

## بحث و تیجه‌گیری

آنتی‌بیوتیک‌ها هنوز به عنوان انتخاب اول درمانی برای مبارزه با عفونت‌های میکروبی در انسان‌ها و حیوانات مورد

بررسی بیان پروتئین BNBD2 مناسب‌تر است. وکتور pET-32a(+) BNBD2 تقریباً دارای ۵۹۰۰ جفت باز و ژن انتخاب‌گر آمپیسیلین (بتالاکتاماز) است. پرومотор T7 در این وکتور مسئول کنترل بیان ژن وارد شده است که القا این pET-32a(+) IPTG صورت می‌گیرد. وکتور (+) Lac I می‌باشد که پروتئین مهارکننده Lac I را کد می‌کند. القا IPTG، مهارکننده را از اپراتور Lac بر می‌دارد، بنابراین زمانی که IPTG که یک آنالوگ برای لاکتوز است به سلول اضافه می‌شود رونویسی پلی‌مراز T7 و بنابراین رونویسی ژن هدف انجام می‌شود. مزیت IPTG برای مطالعات در vivo این است که به وسیله E.coli متابولیزه نمی‌شود و غلظت آن ثابت و پایدار می‌ماند و سرعت بیان ژن تحت کنترل در آزمایش متغیر نمی‌باشد. سویه DE3 میزبانی از فاژ لیزوفیل T7 می‌باشد که حامل یک نسخه کروموزومی از ژن DE3 RNA polymerase تحت کنترل پرومотор LacUV5 است.

چنین سویه‌های برای تولید پروتئین ژن‌های هدف که در وکتور pET تحت القای IPTG همسانه‌سازی شده‌اند مناسب است. علاوه بر این به دلیل خاصیت باکتری‌کشی پروتئین دیفسین باید این پروتئین به صورت فیوژن با پروتئین‌های دیگر بیان شود تا باعث مرگ سلول میزبان نشود از این رو ناقل pET 32a به دلیل داشتن ژن تیرودوکسین ناقل مناسبی برای این پروتئین می‌باشد. در مطالعه قبلی توسط این تیم تحقیقاتی، پروتئین مورد نظر توسط سانتریکون Vivaspin2 که حاوی غشای تریاستات‌سلولز و یا هیدروسارت است خالص‌سازی شد و با استفاده از جایگاه برش اسپارتیک-پروولین پروتئین مورد نظر از توالی‌های اضافه مانند پروتئین تیوردوکسین جدا گردید [۱۴]. از آنجایی که فاکتورهای مولکولی مهم برای قدرت ضد میکروبی یک پیتید بار و هیدرو فویسیتی آن می‌باشد و با در نظر گرفتن خاصیت کاتیونیک ناحیهٔ c-ترمینال پیتید BNBD2، به نظر می‌رسد بیان بالای این ژن می‌تواند فعالیت ضد میکروبی بهتری بر ضد باکتری داشته باشد. بررسی اثر باکتری‌کشی روی تعدادی از باکتری‌های گرم منفی و گرم مثبت نشان‌دهنده قدرت باکتری‌کشی این

صرف قرار می‌گیرند. شیوع مقاومت باکتری‌ایی به آنتی‌بیوتیک‌ها یک نگرانی برای سلامت عمومی ایجاد می‌کند. در نتیجه کشف و گسترش پیتیدهای ضد میکروب منجر به بهبود بیماری‌های عفونی می‌شود. پیتیدهای ضد میکروب بر طیف وسیعی از باکتری‌ها، قارچ‌ها، انگل‌ها و ویروس‌های غشادار عمل می‌کنند و بر خلاف آنتی‌بیوتیک‌ها که عموماً یک آنزیم متابولیک را هدف قرار می‌دهند و ممکن است مقاومت در میکرووارگانیسم‌ها القا کنند، پیتیدهای ضد میکروب عمدتاً با مکانیسم‌های تشکیل‌دهنده منفذ در غشاء هدف، عمل می‌کنند که مقاومت در برابر آن مشکل می‌باشد [۱۵، ۱۶]. در پستانداران، دیفسین‌ها در میان فراوان‌ترین طیف وسیع آنتی‌بیوتیک‌ها هستند و در سلول‌های هماتوپویتیک و اپی‌تلیال بیان می‌شوند [۱۶]. دیفسین‌ها به ویژه در نوتروفیل‌ها فراوان هستند هر چند بیان ژن به نوتروفیل‌ها محدود نمی‌شود [۱۷].

در این تحقیق به منظور تولید و بیان پروتئین BNBD2، ابتدا با در نظر گرفتن کدون‌های مورد استفاده در باکتری اشریشیاکولی، طراحی و سنتز شیمیایی ژن BNBD2 صورت گرفت و شرایط لازم جهت بیان این پروتئین با ساخت سلول‌های مستعد به بیان ژن فراهم شد و طی بررسی‌های مختلف این پروتئین تولید گردید. نحوهٔ به کارگیری کدون‌ها ممکن است روی میزان بیان پروتئین اثر بگذارد. در صورتی که ژن مورد نظر حاوی کدون‌هایی باشد که به طور معمول در باکتری به کار نمی‌رود به دلیل کمبود tRNA برای کدون‌های کمیاب احتمال کاهش میزان بیان وجود دارد. هنگام برخورد با یک یا دو کدون کمیاب امکان وقفه در ترجمه و به دنبال آن کاهش سرعت ساخت پروتئین و در معرض تخریب قرار گرفتن mRNA وجود دارد. با این وجود حضور یک کدون کمیاب لزوماً منجر به کاهش بیان نخواهد شد [۱۴]. در این پژوهش از سویهٔ (DE3) E. coli BL21 استفاده شد و ژن BNBD2 با در نظر گرفتن کدون‌های بیانی در این سویه طراحی و سنتز گردید. این سویه با داشتن RNA‌هایی که اسید آمینه را برای کدون‌های کمیاب فراهم می‌کنند برای

[5] De Smet K, Contreras R. Human Antimicrobial Peptides: Defensins, Cathelicidins and Histatins. *Biotechnol Lett* 2005; 7: 1337-1347.

[6] Lazarev VN. Antimicrobial peptides and their use in medicine. *Appl Biochem Micro* 2010; 46: 803-814.

[7] Heilborn JD, Nilsson MF, Kratz G, Weber G, Sørensen O, Borregaard N, Ståhle-Bäckdahl M. The cathelicidin anti-microbial peptide LL-37 is involved in re-epithelialization of human skin wounds and is lacking in chronic ulcer epithelium. *J Invest Dermatol*. 2003;120(3):379-89.

[8] Sambrook J, Russell DW. Molecular cloning; a laboratory manual. Cold Spring Harbor Laboratory Press, Cold Spring Harbor, New York 2001.

[9] Karimi N, Saffar B, Ghaedi K, Mobini-Dehkordi M. Optimization of expression, purification and handling anti bacteria feature protein of bovine neutrophil B-defensing BNBD2. *J Shahrekhord Univ Med Sci* 2013; 15: 89-97. (Persian).

[10] Akila S, Nanda A. In-vivo wound healing activity of silver nanoparticles: an investigation. *Intern J Sci Res* 2012; 3: 1208-1212.

[11] Heydarnejad MS, Yarmohammadi-Samani P, Mobini- Dehkordi M, Rahnama S. The influence of topical treatment of dermal wounds with silver nanoparticles on ALT and AST enzymes and hemoglobin in mice (Mus Musculus). *ZUMS J* 2013; 21: 35-44 (Persian).

[12] Heydarnejad MS, Yarmohammadi-Samani P, Mobini- Dehkordi M, Rahnama S. Assessing the effects of silver nanoparticles on some hematological parameters during the wound healing in mice. *Feyz J Kashan Univ Med Sci* 2013; 12: 359-365 (Persian).

[13] Bradford MM. A rapid and sensitive method for the quantitation of microgram quantities of protein utilizing the principle of protein-dye binding. *Anal Biochem* 1976; 72: 248-254.

[14] Sørensen H. Advanced genetic strategies for recombinant protein expression in E.coli. *J Biotechnol* 2005; 115: 113-128.

[15] Brogden KA, Ackermann M: Antimicrobial peptides in animals and their role in host defences. *Int J Antimicrob Ag* 2003; 22: 465-478.

[16] Hajikhani B, Peerayeh SN. Cloning, expression, purification and antigenicity of recombinant UreB332-HpaA fusion protein from Helicobacter pylori. *MJMS* 2010; 13: 1-10 (Persian).

[17] Cormican P, Meade KG. Evolution, expression and effectiveness in a cluster of novel bovine B-defensin. *Immunogenetics* 2008; 60: 147-156.

[18] Steinstraesser L, Koehler T, Jacobsen F et al. Host defense peptides in wound healing. *I Mol Med* 2008; 14: 528-537.

[19] Bradan A, Nizet V, Gallo RH. Antimicrobial peptide and the skin. *Expert Opin Biol Ther* 2004; 4: 543-549.

پروتئین بود [۹]. با توجه به نتایج به دست آمده از مطالعه قبلی برآن شدیم تا خاصیت ترمیمی پروتئین تولید شده را نیز مطالعه کنیم. نتایج حاکی از خاصیت ترمیمی پروتئین مذکور دارد. به طوری که میزان بهبودی زخم در روزهای ۳، ۶ و ۹ نسبت به هم اختلاف معنی‌داری را نشان داد. مطالعات نشان داده است که در هنگام زخم میزان بیان بتادیفنسین‌ها افزایش می‌یابد. بتادیفنسین‌ها باعث تکثیر و حرکت کراتینوسیت‌های پوست و رگزایی می‌شوند که در ترمیم زخم نقش دارند. علاوه بر این با تحریک فیبروبلاست‌ها باعث سنتر پروتوگلیکان‌های خارج سلولی می‌گردند [۱۸، ۱۹]. هر چند خاصیت باکتری کشی و جلوگیری از عفونت می‌تواند نیز می‌تواند عامل مهمی در افزایش قدرت ترمیم باشد. بنابراین با توجه به نقش دوگانه این پیتیدها بی‌شك نتایج این تحقیق می‌تواند در بررسی این پیتیدها به عنوان عوامل درمانی جدید در ترمیم و بهبود زخم مؤثر باشد.

## تشکر و قدردانی

این پژوهش با حمایت مالی دانشگاه شهرکرد در قالب طرح پژوهشی انجام شده است.

## منابع

[1] Ganz T. Defensins: antimicrobial peptides of innate immunity. *Nature* 2003; 3: 710-720.

[2] Li Y. Recombinant production of antimicrobial peptides in escherichia coli: A review. *Protein Express Purif* 2011; 80: 260-267.

[3] Aono S, Li C, Zhang G. Molecular and functional characterization of bovine beta-defensin. *Vet Immunol Immunopathol* 2006; 113: 181-190.

[4] Klotman ME, Chang TL. Defensins in innate antiviral immunity. *Nat Rev Immunol* 2006; 6: 447-456.

# Design, construction, cloning and expression of beta Defensin and its effect on wound healing

Nafiseh Karimi (MSc)<sup>1</sup>, Behnaz Saffar (Ph.D)<sup>1,2</sup>, Mohsen Mobini(Ph.D)<sup>1</sup>, Kamran Ghaedi (Ph.D)<sup>3</sup>

1 - Department of Genetics, Faculty of Sciences, Shahrekord University, Shahrekord

2 - Research Institute of Biotechnology, Shahrekord University, Shahrekord

3 - Department of Biology, Faculty of Sciences, University of Isfahan, Isfahan

(Received: 13 Apr 2015; Accepted: 26 Jul 2015)

**Introduction:** Defensins are members of the largest family of antimicrobial peptides and due to their activity against bacteria, fungi, and viruses are very profitable as new antibiotics. The aim of this study was to design, synthesis, clone and expression of BNBD2 (Bovine Neutrophil Beta-Defensin2) gene to investigate the wound healing process.

**Materials and Methods:** In this study, according to the preferred codon in E. coli, the BNBD2 gene was optimized and synthesized. The BNBD2 gene was sub cloned in vector pET-32a (+). The BNBD2 protein expression was assessed; using Isopropyl- $\beta$ -D-thio-galactoside (IPTG) as an inducer and evaluating by SDS-PAGE. The potency of BNBD2 protein for healing was studied by creating a wound on a group of mice and treating them with BNBD2 protein in comparison with the control group.

**Results:** The results showed that BNBD2 gene was successfully cloned into pET32a (+) vector. The expression of protein was induced by IPTG. There was a significant reduction in wound area in the treatment group in compare to the control group.

**Conclusions:** Recombinant protein (BNBD2) was expressed successfully in prokaryotic system. This protein might be potentially beneficial for wound healing procedures in the future.

**Keywords:** Defensins, Wound Healing, Codon, Molecular Cloning, Gene Expression

---

\* Corresponding author. Tel: +98 383 2324419

saffar\_b@sci.sku.ac.ir